

تخمین بیشینه شتاب با استفاده از شبیه سازی جنبش نیرومند زمین

حسین حمزه لو، استادیار پژوهشکده زلزله شناسی پژوهشگاه hhamzehloo@dena.iiees.ac.ir

نصرالله کمالیان، استادیار مؤسسه ژئوفیزیک دانشگاه تهران Kamalian@chamran.ut.ac.ir

۱- چکیده

۱- در روش اول ابتدا شدت زمین لرزه و سپس جنبش زمین با استفاده از تبدیل شدت تخمین زده می شود.

۲- در روش دوم از روابط کاہنگی (*Attenuation Relationships*) برای تخمین جنبش زمین استفاده می شود. این روابط از سال ۱۹۶۰ به بعد معرفی شده اند. در این روابط عمدتاً بیشینه شتاب به صورت تابعی از فاصله، بزرگا، شرایط ایستگاه یا سازوکار زمین لرزه که با استفاده از داده های جهانی یا منطقه ای به دست می آید تعریف می گردد. از عمدت ترین محدودیتهای این روش آن است که روابط مذکور بر اساس زمین شناسی و زمین ساخت منطقه خاص به دست آمده و استفاده از آنها برای ناحیه دیگر با ویژگی های زمین شناسی و زمین ساخت متفاوت به صورت منطقی مطمئن نمی باشد. از طرف دیگر، به علت محدودیت اطلاعات تزدیک به گسل مربوط به زمین لرزه اکثر این روابط به علت در دسترس نبودن داده های حوزه تزدیک در فواصل تزدیک به گسل قابل کاربرد نیستند.

۳- ثبت اولین نگاشت در تزدیکی گسل در زمین لرزه ۱۹۶۶ پارکفیلد زمینه را برای معرفی روش سومی، تحت عنوان شبیه سازی جنبش نیرومند زمین، برای تخمین ویژگی های جنبش نیرومند زمین فراهم کرد. در این روش روند زمانی جنبش حرکات نیرومند زمین با استفاده از روش های تئوری شبیه سازی می شود. این روشها عبارتند از:

- کاتوره ای (*Random*);

- تابع تجربی گرین (*Empirical Green's Function*);

- تابع نیمه تجربی گرین (*Semi-Empirical Green's Function*);

- مدل چشممه ترکیبی (*Composite Source Model*);

- شبکه عصبی (*Neural Network*);

ویژگی جنبش نیرومند زمین برای طراحی سازه ها از اهمیت زیادی برخوردار است. شبیه سازی جنبش نیرومند زمین بوسیله برای نواحی که از آن داده ای در دسترس نیست نقش مهمی را در تخمین آن ایفا می کند. در این پژوهش، روش های شبیه سازی به اختصار مورد بررسی قرار - گرفته، روش جدید پیوندی موجک، پوش موج نقشها و نویه سفید فیلتر - شده معرفی گردیده است. بزرگا، طول و عرض گسل، راستا و شب گسل، ابعاد عضو، سرعت امواج عرضی و سرعت گسیختگی و نقطه شروع گسیختگی پارامترهایی هستند که برای شبیه سازی مورد نیاز می باشند. سپس گسیختگی از نقطه آغاز، شروع شده و به مرکز اعضا می رسد. از مرکز اعضا انرژی به صورت موجک (*Wavelet*) آزاد می شود. مزیت این روش آن است که بیشینه شتاب اولیه که برای ایجاد پوش موج نقشها استفاده می شود با درنظر گرفتن پارامترهای مدل و هندسه گسیختگی به جای روابط تجربی تخمین زده می شود. شتابنگاشت نهایی با ضرب نویه سفید فیلتر شده که از طیف^(۱) پیروی می کند در پوش موج نقشها به دست می آید. بیشینه شتاب به روش ترکیبی مذکور به خوبی برای چهار زمین لرزه ایران بوسیله برای ایستگاه های تزدیک به گسل، تخمین زده شده است.

کلید واژه ها: بیشینه شتاب، شبیه سازی، جنبش نیرومند زمین، موجک، پوشش موج نقشها

۲- مقدمه

ناهمگن بودن ساختمان داخل زمین، لایه ای بودن پوسته، وجود چینها، گسلها، موجهای انعکاسی، شکست مرزی، موجهای تبدیل یافته و فرایند پیچیده کاہنگی (*Attenuation*) بر روی تخمین ویژگی های جنبش نیرومند زمین تأثیر می گذارند. با توجه به ویژگی های جنبش نیرومند زمین، روش هایی برای تخمین آنها معرفی شده است. این روشها را می توان به سه دسته تقسیم بندی کرد:

- پیوندی (*Hybrid*)

مزیت این روش‌ها آن است که اطلاعات مربوط به چشمۀ زمین‌لرزه، انتشار موج بین چشمۀ و ایستگاه، شرایط ایستگاه و کاهندگی در شبیه سازی جنبش نیرومند زمین در نظر گرفته می‌شود که در نهایت باعث اطمینان بیشتری در تخمین ویژگی‌های جنبش نیرومند زمین در حوزه زمان و فرکانس می‌گردد.

۳- روش‌های شبیه سازی جنبش نیرومند زمین

جنبش نیرومند زمین به روش‌های مختلفی شبیه سازی می‌شود که عبارتند از:

۱-۱- روش کاتوره ای

روش‌های کاتوره ای به صورت گستره‌ای برای پیش‌بینی جنبش نیرومند زمین مورد استفاده قرار گرفته است. در این روش، جنبشهای فرکانس بالای زمین‌لرزه به صورت اغتشاش باند محدود گوسی که از طیف^۲ پیروی می‌کند، از محدودیتهای این دو روش استفاده کند تماش داده می‌شود. از محدودیتهای این روش این است که زمین‌لرزه ها به صورت چشمۀ های نقطه‌ای در نظر گرفته می‌شوند [۱].

۱-۲- روش تابع تجربی گرین

روش تابع تجربی گرین برای اولین بار در سال ۱۹۷۸ توسط هارتزل معرفی گردید [۲]. در این روش انتشار گسیختگی به صورت تعیینی (Deterministic) و جنبه انتشار چشمۀ و تابش با فرض اینکه در پس لرزه‌ها وجود دارد برای شبیه سازی در نظر گرفته می‌شود. این روش توسط هادلی و هلمبرگ و ایریکورا بهینه شد [۳ و ۴].

از محدودیتهای روش مذکور این است که برای کاربرد آن باید پس لرزه‌ها موجود باشد. از طرفی دیگر، اگر پس لرزه‌ها یا به عبارت دیگر اتفاق کوچک (Small Event) تحت تأثیر اثر جهت پذیری (Directivity) در مقایسه با زمین‌لرزه هدف (Target Event) قرار گرفته باشد، بر اثر این پذیره جنبش نیرومند شبیه سازی شده زیاد یا کم تخمین زده می‌شود.

۱-۳- روش تابع نیمه تجربی گرین

در حالتی که اتفاق کوچک در دسترس نباشد از روش‌های نیمه تجربی برای شبیه سازی جنبش نیرومند زمین می‌توان استفاده کرد. در روش نیمه تجربی تابع گرین فرایند گسیختگی چشمۀ با استفاده از یک مدل جنبشی (Kinematic) بر اساس مطالعات اولین تکانه (First Motion)، مدل سازی دور لرزه (Telesismic) و توزیع پس لرزه‌ها

۴-۳- روش مدل چشمۀ ترکیبی

در روش مدل چشمۀ ترکیبی، جنبش نیرومند زمین با استفاده از ویژگی‌های فرایند چشمۀ زمین‌لرزه و تشوری انتشار امواج شبیه سازی می‌شود. در این روش، چشمۀ با منطبق کردن اتفاقهای زیر مجموعه دایره‌ای توصیف می‌شود. اتفاقهای کوچک دارای افت تنجش یکسان هستند. تعداد کل اتفاقهای کوچک به صورتی در نظر گرفته می‌شود تا با گشتاور لرزه ای زمین‌لرزه اصلی منطبق شود [۶]. سازوکار زمین‌لرزه، افت تنجش، مدل سرعت و مدل ضریب کیفیت (Ω) برای این روش نیاز می‌باشد.

۵-۳- شبکه‌های عصبی

مهندس طراح، علاقه مند به دانستن حداکثر نیرویی است که به یک سازه هنگام زمین‌لرزه وارد می‌شود؛ لذا، مفهوم طیف پاسخ بسیار مهم می‌باشد. در حالت تبدیل فوریه، با انجام عمل معکوس فوریه از طیف فوریه، شتابنگاشت به دست می‌آید. اگرچه تنها یک طیف پاسخ برای هر تاریخچه زمانی وجود دارد، عکس آن صادق نمی‌باشد. به عبارت دیگر، به دست آوردن تاریخچه زمانی از طیف پاسخ مانند تبدیلات فوریه ممکن نیست؛ زیرا، بیش از یک تاریخچه زمانی با یک

در این روش جدید پیوندی ابتدا شتابنگاشت اولیه با استفاده از موجک شبیه سازی می گردد. کسیختگی شروع شده و به مرکز اعضا می رسد و از آنجا انرژی به صورت موجک آزاد می شود. موجکها از هر عضو با اختلاف زمانی متفاوت به ایستگاه موردنظر می رسند و ترکیب آنها شتابنگاشت اولیه را ایجاد می کند (شکل ۲، الف). یعنی شتاب اولیه از روی این شتابنگاشت اولیه به دست می آید. مزیت این روش در این است که یعنی شتاب اولیه که برای ایجاد پوش موج نقشها استفاده می شود با در نظر گرفتن پارامترهای مدل و هندسه کسیختگی به جای روابط تجربی تخمین زده شده است.

در مرحله بعد از این روش پیوندی پوش موج نقشها با استفاده از یعنی شتاب اولیه و پارامتر مدت از رابطه کامدا و ساجتو به دست می آید [۱۳]:

$$a(t) = \left(\frac{P_{ap}}{t_d} \right) \cdot t \cdot \exp\left(1 - \frac{t}{t_d}\right) \quad (1)$$

در رابطه (۱)، P_{ap} یعنی شتاب اولیه و t_d پارامتر مدت می باشد. سپس نویه سفید فیلتر شده که از طیف پیروی می کند، در پوش موج نقشها ضرب شده و شتابنگاشت نهایی به دست می آید. شکل (۳) الگوریتم روش ترکیبی مذکور را نشان می دهد. شکل (۲) مراحل انجام این روش پیوندی را برای زمین لرزه طبس در ایستگاه طبس نشان می دهد.

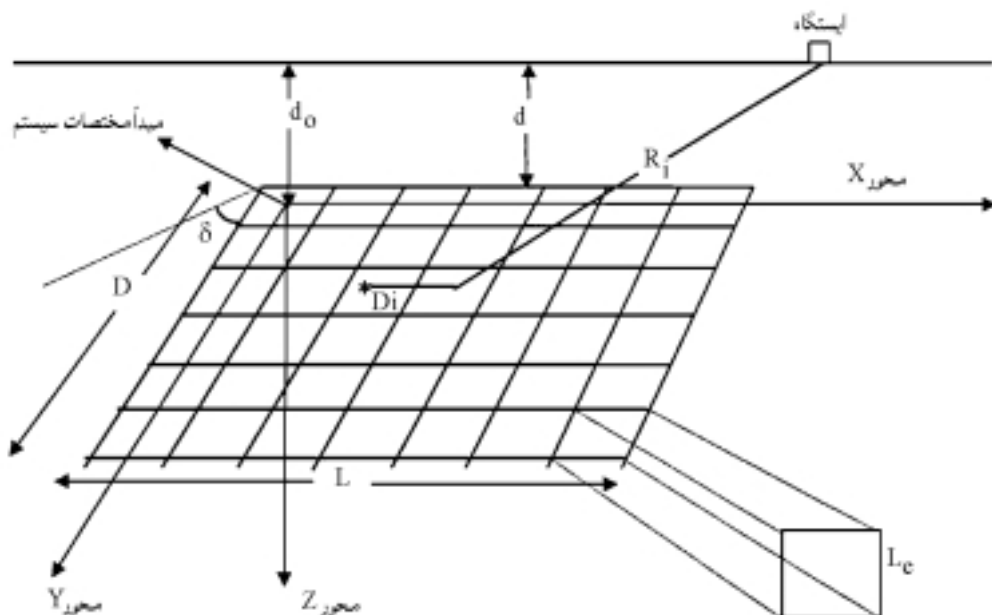
طیف پاسخ می تواند سازگار باشد. در روش شبکه های عصبی، شبکه های عصبی نقشه برداری معکوس را از طیف پاسخ به شتابنگاشت فرا می گیرد. هدف اصلی در استفاده از شتابنگاشتهای ثبت شده تمرین یادگیری شبکه های عصبی در ارتباط دادن طیف پاسخ به شتابنگاشت متراوف آن می باشد و در این راستا قابلیت تولید شتابنگاشت را از طیف پاسخ فراهم می کند [۱۰].

۶-۳- روش های پیوندی (Hybrid Methods)

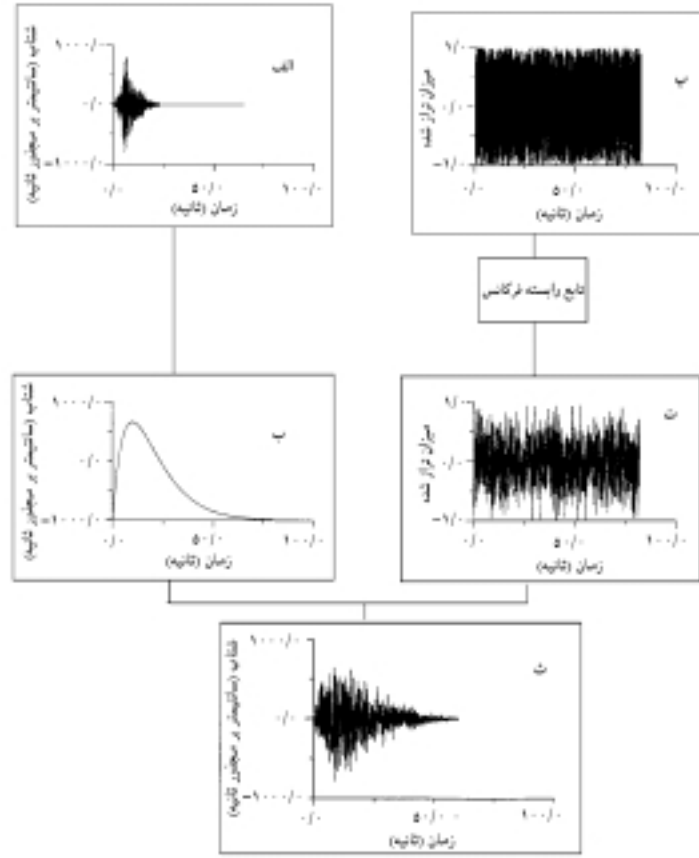
روش های پیوندی روشهایی هستند که از پیوند دو یا چند روش که در قسمتهای قبل بحث شد برای شبیه سازی جنبش نیرومند زمین استفاده می شود. پیوند روشهای کاتوره ای وتابع نیمه تجربی گرین، روشهای کاتوره ای وتابع نیمه تجربی گرین و المانهای تفاضلی، پیوند دو روش تجربی تابع گرین نمونه هایی از این روشهای می باشد [۱۱ و ۱۲].

۴- روش جدید پیوندی موجک، پوش موج نقشها و نویه سفید فیلتر شده

روش جدید پیوندی موجک، پوش موج نقشها و نویه سفید فیلتر شده توسط حمزه لو [۸] و حمزه لو و همکاران [۱۱] معرفی گردید. در روش مذکور گسل مربوط به زمین لرزه به N المان تقسیم می شود (شکل ۱). پارامترهایی که برای شبیه سازی جنبش نیرومند زمین مورد نیاز می باشد عبارتند از: طول (L) و عرض (D) کسیختگی، راستا و شیب گسل، ابعاد عضو، سرعت امواج عرضی، سرعت کسیختگی و نقطه شروع کسیختگی [۸].



شکل (۱): مدل گسل برای شبیه سازی جنبش نیرومند زمین



شکل (۲): مراحل مختلف برای شبیه سازی جنبش نیرومند زمین به روش جدید موجک، پوش موج نتشها و نویه سفید فیلتر شده در ایستگاه طبس



شکل (۳): الگوریتم روش شبیه سازی جنبش نیرومند زمین با استفاده از روش موجک، پوش موج نتشها و نویه سفید

۵- نتیجه گیری

روش جدید پیوندی موجک، پوش موج نتشها و نوفه سفید فیلتر شده برای شبیه سازی جنبش نیرومند زمین برای زمین لرزه های ۱۳۵۷ طبس، ۱۳۶۹ منجیل، ۱۳۷۳ زنجیران و ۱۳۷۵ اردبیل آزمایش شد. جدول (۱) مقادیر شبیه سازی شده و مشاهده شده بیشینه شتاب را برای ایستگاههای تزدیک به گسل برای این چهار زمین لرزه نشان می دهد. پارامتر بیشینه شتاب با استفاده از این روش به خوبی تخمین زده شده است.

ایستگاههایی که برای مقایسه بین شتاب افقی مشاهده شده و شبیه سازی در نظر گرفته شدن عبارتند از: ایستگاههای طبس، دیهوک، فردوس و بجستان برای زمین لرزه طبس، ایستگاههای آب بر، تنکابن، روپسر، قزوین، ابهر، زنجان، لاهیجان و گچسر برای زمین لرزه منجیل، ایستگاههای زنجیران، میمند، فیروزآباد و زرات برای زمین لرزه زنجیران و ایستگاههای اردبیل، آستارا، هورند، مشکین شهر، نمین، رضی و سراب برای زمین لرزه اردبیل. شکل (۴) مقایسه ای بین بیشینه شتاب مشاهده شده برای دو مولفه افقی و شبیه سازی شده در ۲۳ ایستگاه برای این چهار زمین لرزه را نشان می دهد. اثربهای کاهندگی گسل محدود (Finite-Fault) شامل هندسه گسیختگی و جهت پذیری که روی ویژگیهای جنبش زمین اثر می گذارند در این روش در نظر گرفته شده است.

مقایسه شتاب مشاهده و شبیه سازی شده نشان می دهد که روش مذکور قابل کاربرد برای تخمین بیشینه شتاب و تهیه نقشه خطر زمین لرزه می باشد. بیشینه شتاب شبیه سازی شده که با در نظر گرفتن پارامترهای مدل گسل شامل طول و عرض گسیختگی، راستا و شیب گسل، ابعاد

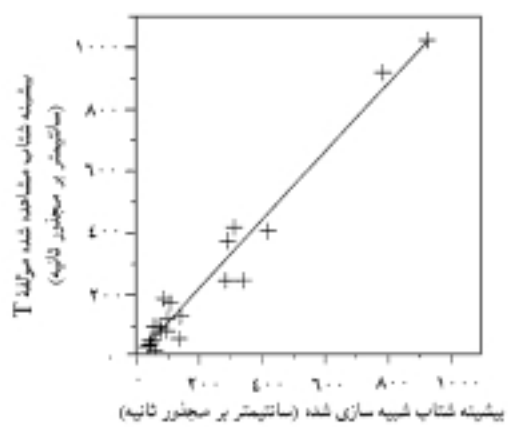
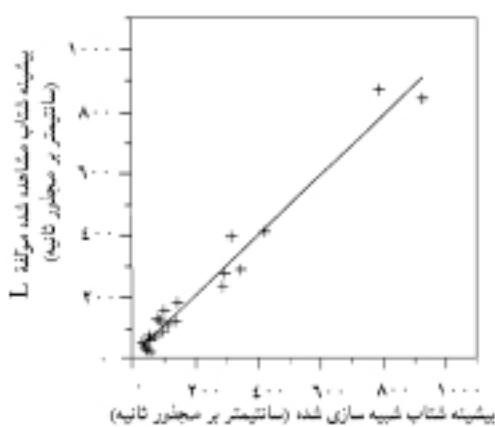
جدول (۱): مقایسه بین بیشینه شتاب مشاهده شده و شبیه سازی شده برای ایستگاههای تزدیک به گسل

بیشینه شتاب شبیه سازی شده Cm/sec ²	بیشینه شتاب افقی مشاهده شده Cm/sec ²	T	L	تزریقی ایستگاه به گسل	زمین لرزه
۷۸۷	۹۱۵	۸۶۷		طبس	۱۳۵۷ طبس
۴۲۱	۴۰۴	۴۱۰		آب بر منجیل	۱۳۶۹
۹۲۷	۱۰۱۷	۸۴۰		زنگیران	۱۳۷۳ زنجیران
۹۹	۱۲۱	۱۵۶		اردبیل	۱۳۷۵ اردبیل

عضو، سرعت امواج عرضی، سرعت گسیختگی و نقطه شروع گسیختگی تخمین زده شده است به خوبی با بیشینه شتاب افقی مشاهده شده سازگاری داشته است. این امر میین آن است که روش مذکور، روش مناسبتری برای تخمین بیشینه شتاب، بیویژه برای ایستگاههای تزدیک به گسل می باشد.

۶- مراجع

- Boo D.M. (1983). "Stochastic Simulation of High-Frequency Ground Motions Based On Seismological Models of the Radiated Spectra", Bull. Seism. Soc. Am., Vol. 73, No.6.pp. 1865-1894.
- Hartzell, S.H. (1978). Earthquake Aftershocks as Green's Functions, Geophys. Res. Lett. Vol. 5, No. 1, pp.1-4.
- Hadley, D.M., and D.V. Helmberger (1980), Simulation of Strong Ground Motions, Bull. Seim. Soc. Am., Vol. 70, No. 2, pp. 617-630.
- Irikura, K. (1983), "Semi-Empirical Estimation of Strong



شکل (۴): مقایسه بین بیشینه شتاب مشاهده شده برای دو مولفه افقی و شبیه سازی شده برای ایستگاه برای چهار زمین لرزه ایران

- Ground Motions During Large Earthquakes”, Bull. Disaster Prevention Res. Inst. (Kyoto University), 33, pp.63-140.
5. Somerville, P., Sen, M., and Cohee, B. (1991), “Simulation of Strong Ground Motion Recorded During the 1985 Michoacan”, Mexico an Valparaiso, Chile Earthquakes, Bull. Seism. Soc. Am., Vol. 81, No. 1, pp. 1-27.
6. Midorikawa, S. (1993), “Semi Empirical Estimation of Peak Ground Acceleration from Large Earthquakes”, Tectonophysics, 218, pp. 287-295.
7. Khattri, K. N. (1998), “Simulation of Earthquake Strong Ground Motion for Seismic Hazard Estimation”, National Seminar on Recent Advances in Seismology, P 20. (Abstract Published in Souvenir), India.
8. Hamzeloo, H. (2000), “Seismic Modelling of Fault Rupture for Four Iranian Earthquakes”, Ph. D. Theses, University of Roorkee, India.
9. Yu, G., Khattri, K. N., Anderson, J. G., Brune, J. N., and Zeng, Y. (1995), “Strong Ground Motion From the Uttarkashi, Himalaya, India, Earthquake: Comparison of Observations With Synthetics Using the Composite Source Mode”, Bull. Seism. Soc. Am., Vol. 85, No. 1, pp.31-50.
10. Ghaboussi, J. and Chu-Chieh J. Lin (1998). “New Method of Generating Spectrum Compatible Accelerograms Using Neural Networks”, Earthquake Engng. Struct. Dyn., 27, pp. 377-396.
11. Hamzehloo, H., Sinhal, A., Kamalian, N. and Sinhal, H. (2000). “A Quantitative Comparison Between Observed and Simulated Strong Ground Motion for the 1978 Tabas (Ms 7.7), Iran”, Earthquake, Third Meeting of Asian Seismological Commission, Tehran, I.R.Iran.
12. Kamae, K., Irikura K., and Pitaka, A. (1998), “A Technique for Simulating Strong Ground Motion Using Hybrid Greens Function”, Bull. Seism. Soc. Am., Vol. 88, No. 2, pp. 357-367.
13. Kameda, H., and Sugito, M. (1978), “Prediction of Strong Earthquake Motion by Evolutionary Process Model”, Proc. 6th Japan Earthquake Engineering Symp., PP. 41-48.◀